

ФЕДЕРАЛЬНОЕ ГОСУДАРСТВЕННОЕ БЮДЖЕТНОЕ ОБРАЗОВАТЕЛЬНОЕ
УЧРЕЖДЕНИЕ ВЫСШЕГО ОБРАЗОВАНИЯ
«САНКТ-ПЕТЕРБУРГСКИЙ ГОСУДАРСТВЕННЫЙ УНИВЕРСИТЕТ»


Институт наук о Земле
Кафедра геохимии

**Геохимия акцессорной минерализации литий-фтористых гранитов
Тургинского массива в Восточном Забайкалье
и ее генетическое значение**

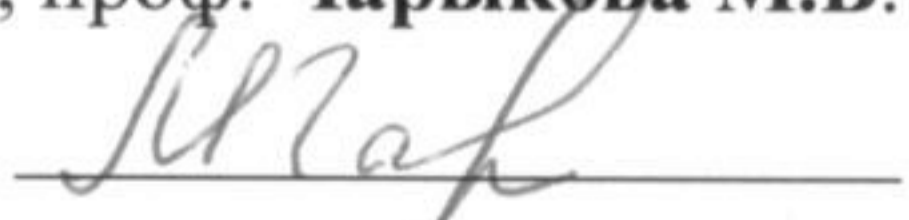
Борисова Евгения Борисовна

Выпускная квалификационная работа
по направлению 05.03.01 "Геология"
по геофизико-геохимической группе профилей

Научный руководитель:
К-г.м.н., доц, **Баданина Е.В.**


(подпись руководителя)

Заведующий кафедрой:
Д-г.м.н., проф. **Чарыкова М.В.**


(подпись заведующего)

САНКТ-ПЕТЕРБУРГ

2019

.....	2
1.	3
1.1.	3
1.2.	5
1.3.	7
2.	10
2.1.	10
2.2.	11
2.3.	13
3.	15
3.1.	15
3.2.	20
3.3. -	22
3.4.	26
3.5.	29
3.6. REE-Y-Th-U-Zr- -	31
3.7.	34
4.	35
.....	39
.....	40
.....	43

Li-F

3000

«

» «

»

Hitachi S-3400N

Hitachi TM-

1.

1.1.

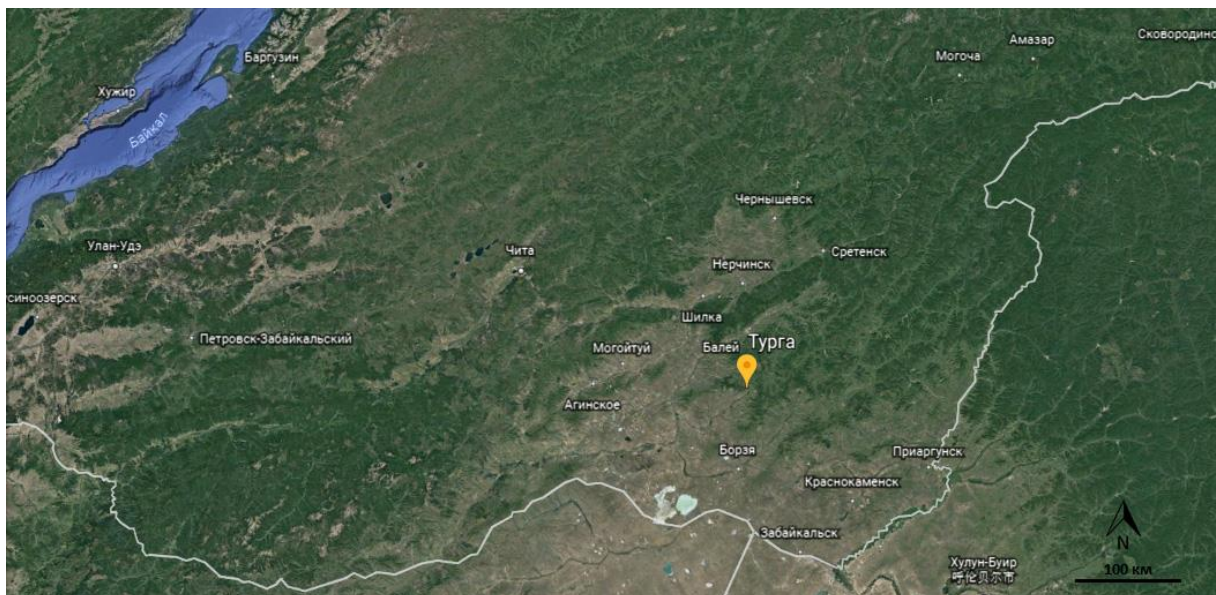
, - ,
 250 - .
 (.1).
 ó . (10),
 (50 / -),
 .

(, , ,), ;
 , .

650 ó 750 (.2).
 -20° , - +21° . 300 ó 400 ,
 , ,
 (8 . 2, 167), (,
 96 . 2, 1032).

- ,
 - ,
 - .

,
 - .
 ,
 (., 2012).
 : , , ,
 , , , , ().



1.

Earth.

Google



2.

Google Earth.

1.2.

·

-

,

.

,

-

,

.

,

.

,

.

ó (, ,)

,

.)

-

,

-

).

-

(,)

-

(. 1972).

-

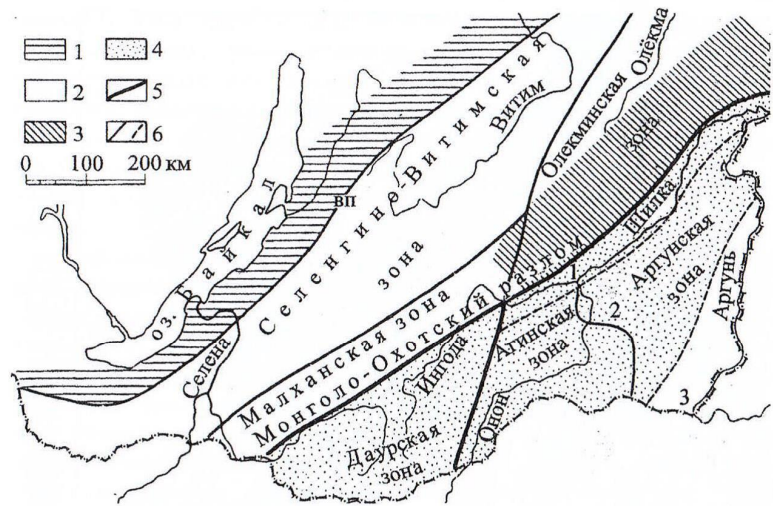
(.3).

-

,

-

(, 2002).



1 — область протерозойской складчатости; 2 — область каледонской складчатости Западного и Северо-Западного Забайкалья; 3 — молибденово-золотой пояс в области каледонской складчатости; 4 — область герцинской складчатости (оловянно-вольфрамовый пояс Центрального и Восточного Забайкалья); 5 — глубинные разломы; 6 — границы структурно-формационных зон; цифры на схеме — структурно-формационные подзоны Аргунской зоны: 1 — Пришилкинская; 2 — Газимурская; 3 — Урулюнгуевская.

3.

1977).

(í , 2001)

(M-50-IX) (.4)

ó

1980-

ó

:

ó

ó

,

ó

1.3.

80 2.

(.4)(., 1983).

:

(158)

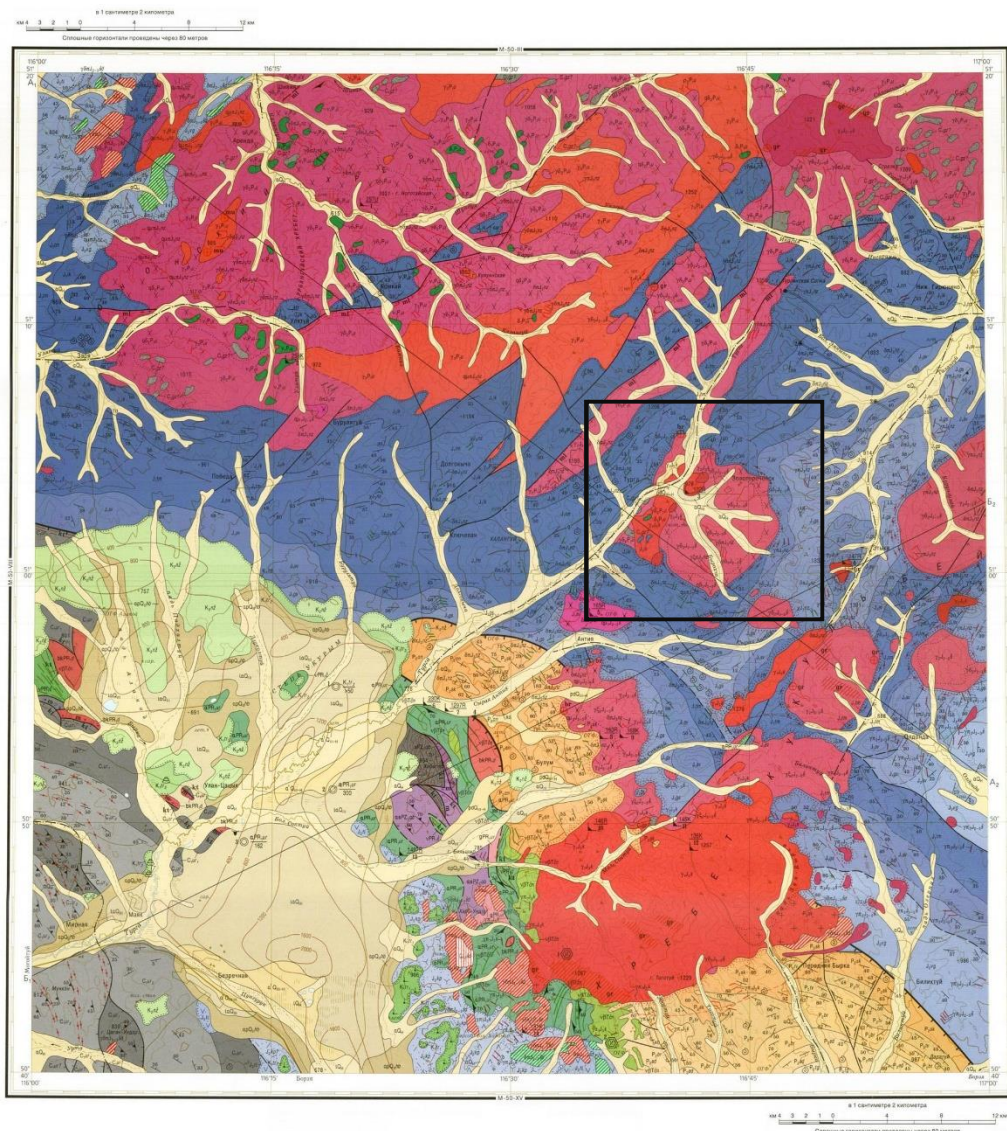
(139±2).

Li- (),

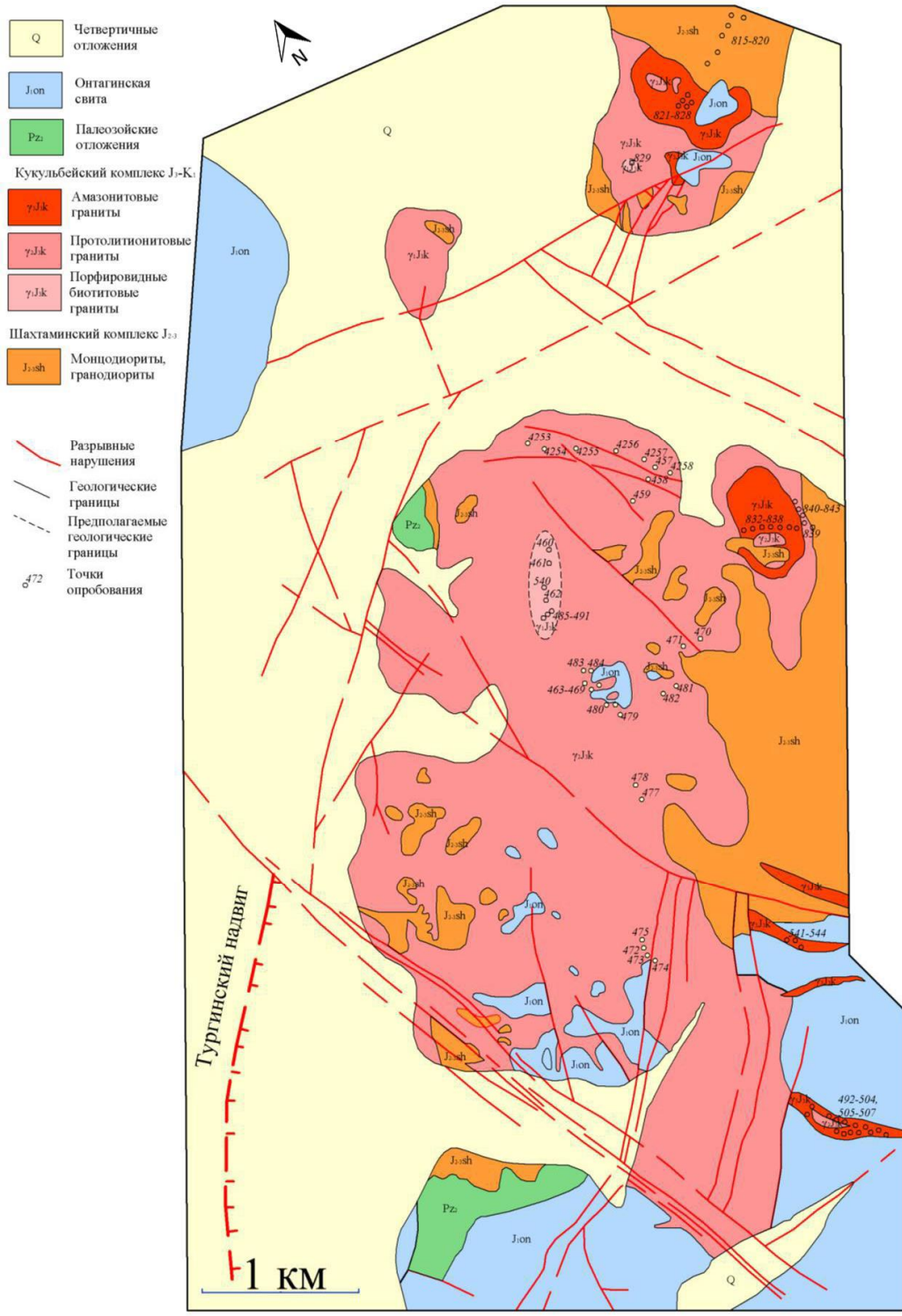
ó

(., 1983).

5.



4. *1: 200 000* (*M-50-IX*) « » ().



5.

... , 1983;

...

... , 1988, 2009.

2.

436, -438), (-841, -842, -844) (-826, -834, -492, -494, -495).

2.1.

6). (Qu é 30%), (Kfs = 20-30%), (Pl = 25-35%), (Bt é 5%). Fe-Mn-

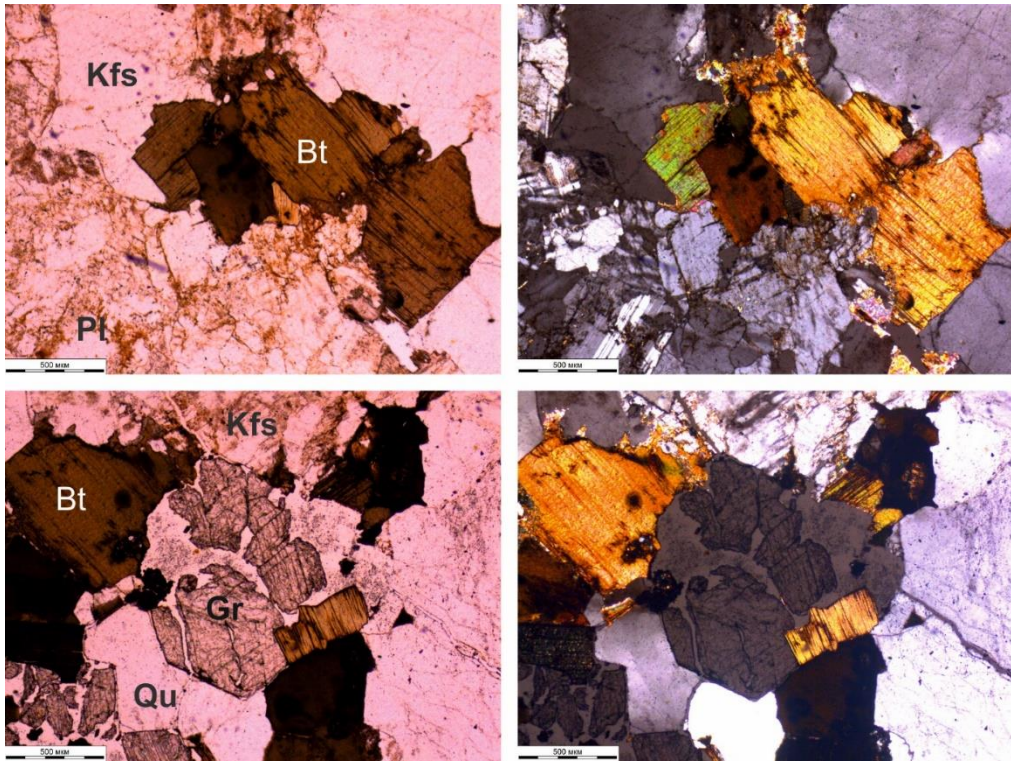
1



6. -829.

An10 An18.

(.7).



7.

2.2.

3-5),

(.8).

(

(1)



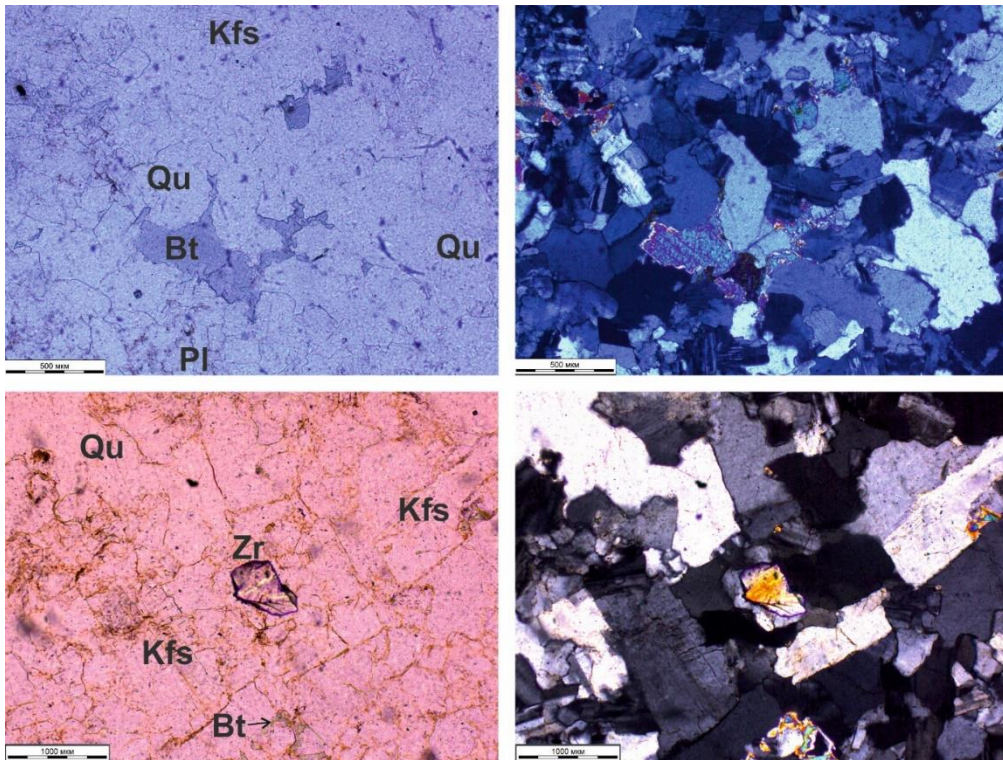
8.

-842.

40%), (Kfs = 20-30%), (Qu = 25-30%), (Pl = 35-40%), (é5%).

1-2 , ó An15 An5.

(. 9).



9.

2.3.

(. 10),

(Qu = 35-45%),

(Ab = 30-40%),

(Kfs = 20-30%),

(Zw 10%).

3 (-826, -834, -492),

1 (-495).

ó

3

1

ó



10.

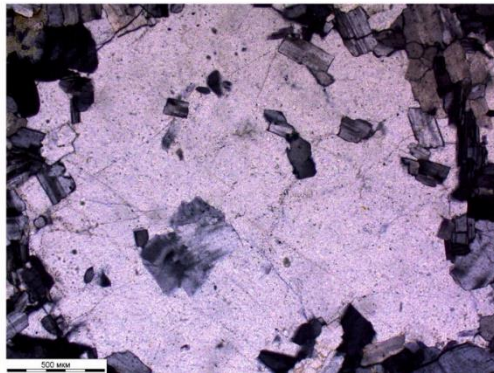
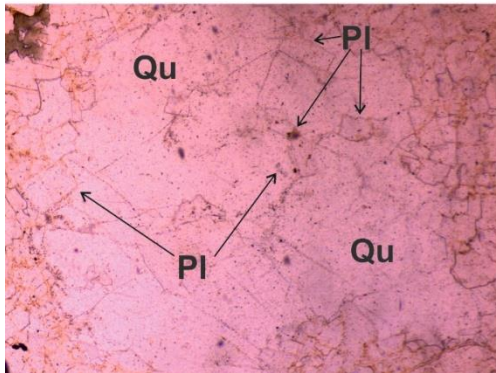
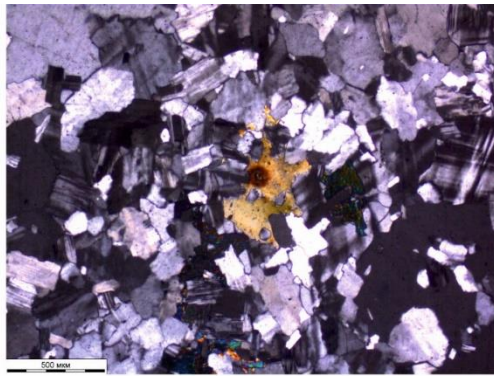
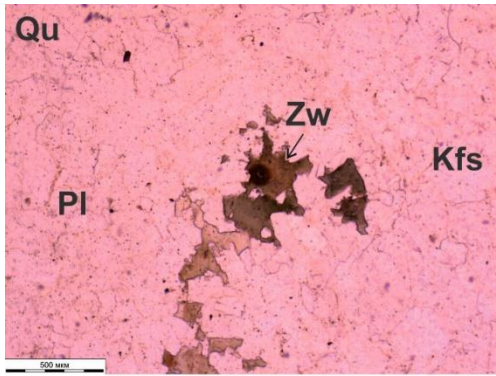
-494.

«snowball»

An10

An0.

(. 11).



11.

3.

(, 2004).

Hitachi TM-3000

Hitachi S-3400N

« » « »

(Fe-Mn)-

ó Fe-

, Fe-

, Fe-

ó (Y),

LREE:

ó

(La,Ce)F₃,

LREE ó

(Ca, Ce, La)₂(Al, Fe)₃(SiO₄)₃(OH),

- (Ce) Ca(Ce, La)₂(CO₃)₃F₂

(Ce,La,Y)CO₃F.

« »

3.1.

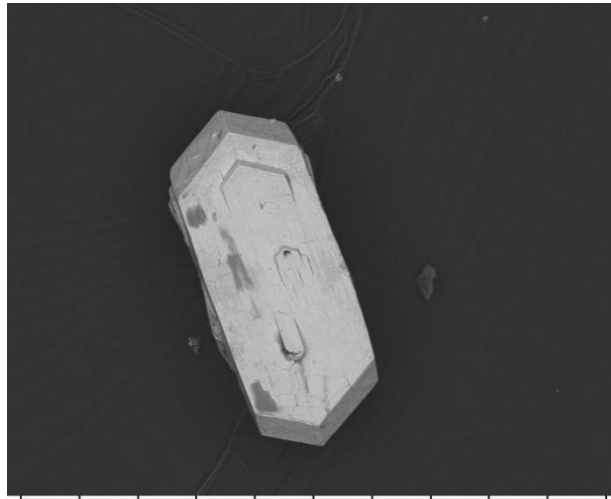
(, 2013).

, BSE-

(. 12, 13).

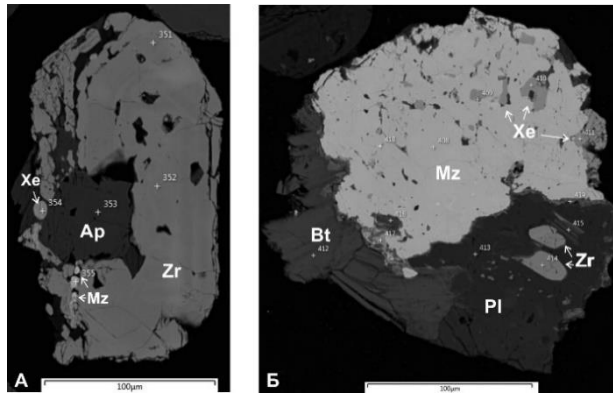
HfO₂ 1,2 2,5

%,



03/25 10:09 N D6.2 x200 500 um

12.



13. ó

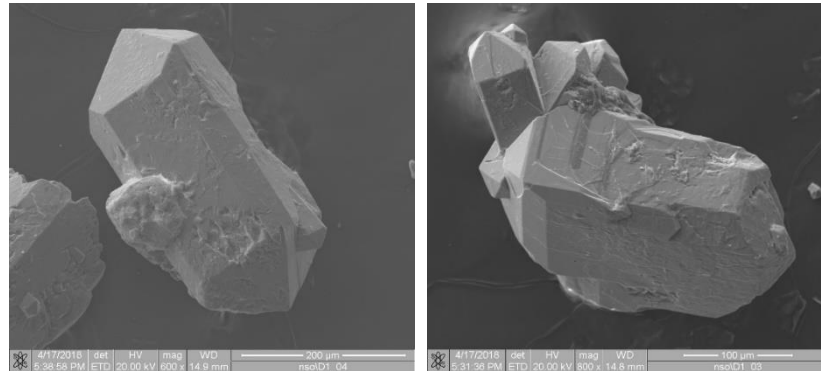
; ó

(. 14, 15).

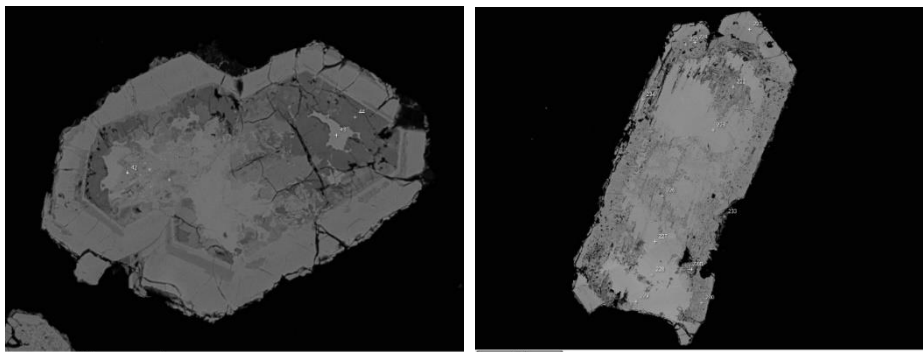
(, 2015). BSE-

(.13).

: U, Th REE, Hf
2-5 .% HfO₂, 7 .%
ThO₂ 1-3%, UO₂ ó 2-6%, 18%,



14.

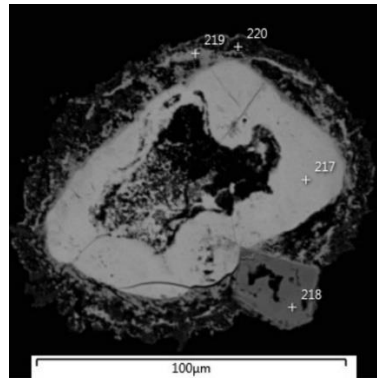
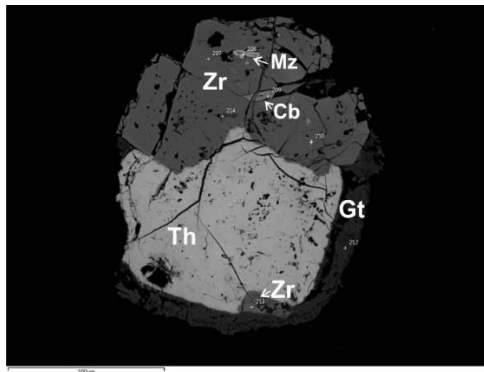


15.

BSE-

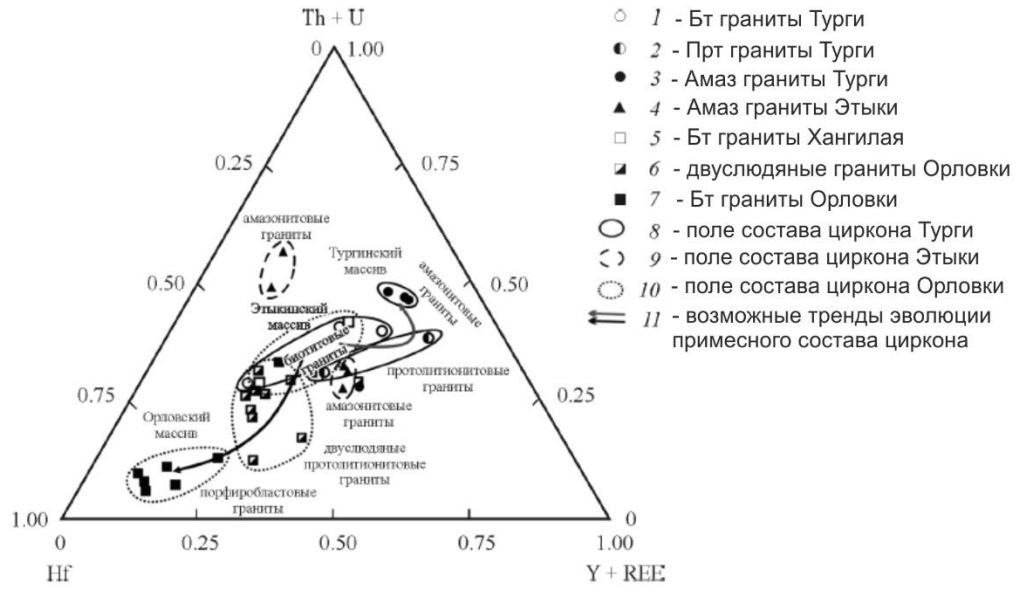
: U, Th REE. HfO₂
2-5 .%, 7 .%
ThO₂ 1-3%, UO₂ ó 2-6%, 18%,

(.16).



16.

BSE-



17.

Th+U,

Hf, Y+REE (., 2013).

Y+REE (., 17).

Hf ó Th+U ó

U+Th (~ . 35%).

Y+REE 40 .%,

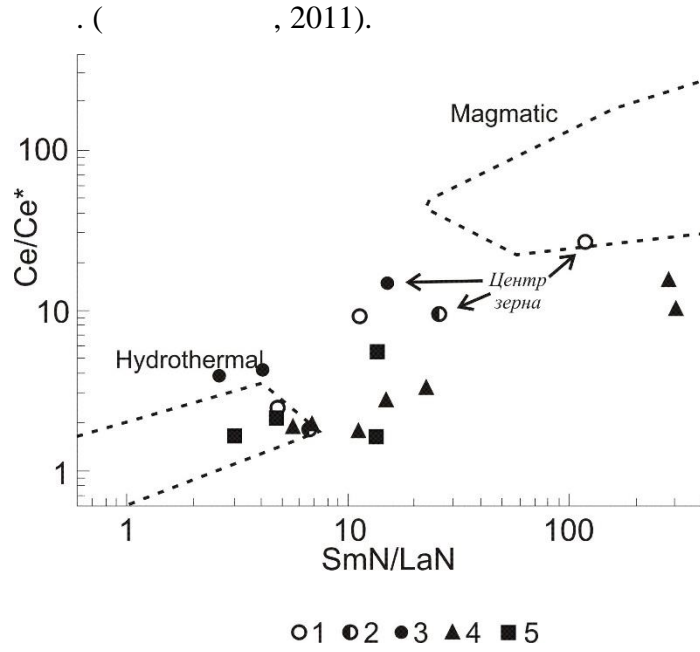
Th+U (45 .%)

Y+REE.

(2011)

(2018).

Eu- Ce-



18.
 SmN/LaN ó Ce/Ce^* ,
 (Pelleter et al., 2007).
 -3 ó

; : -1 ó ; : -522, -2250 ó ; -2 ó

(. 18),
 Ce/Ce^* - $(Sm/La)_N$

(., 2018).

3.2.

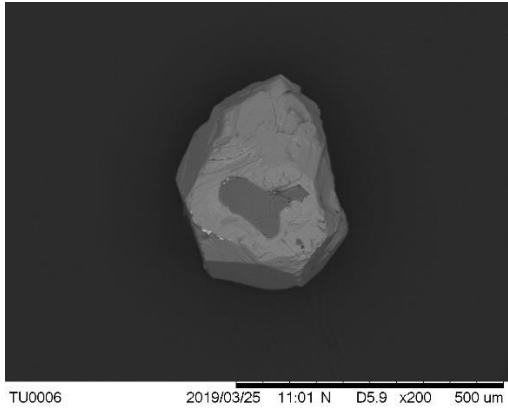
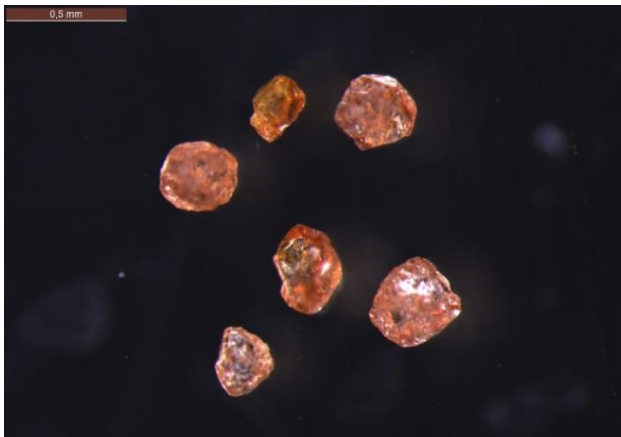


0,2 0,5

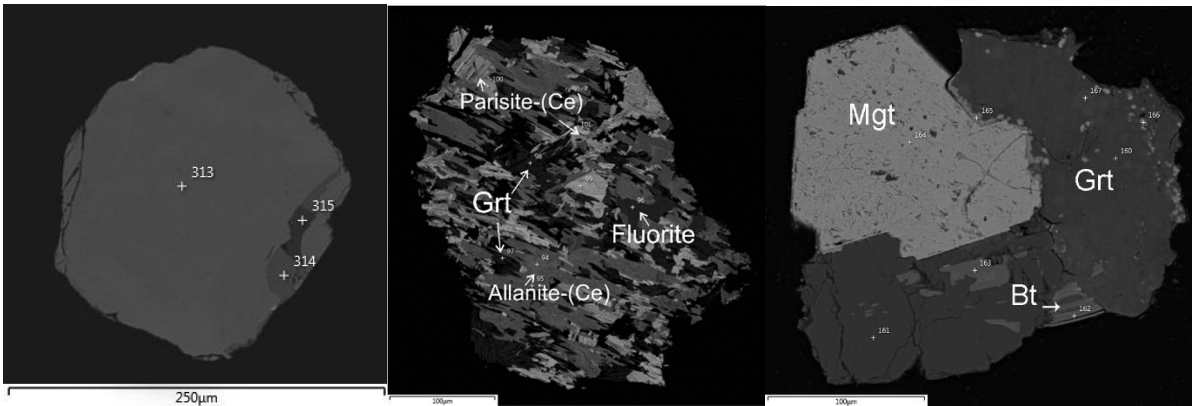
(. 19, 20).

(. 20).

(. 20).



19. Fe-Mn



20. ó

, ó

(BSE-).

(II)

68%,
6,6%.

ó 22,2 27%,

ó 2,2 4%

4,7

63

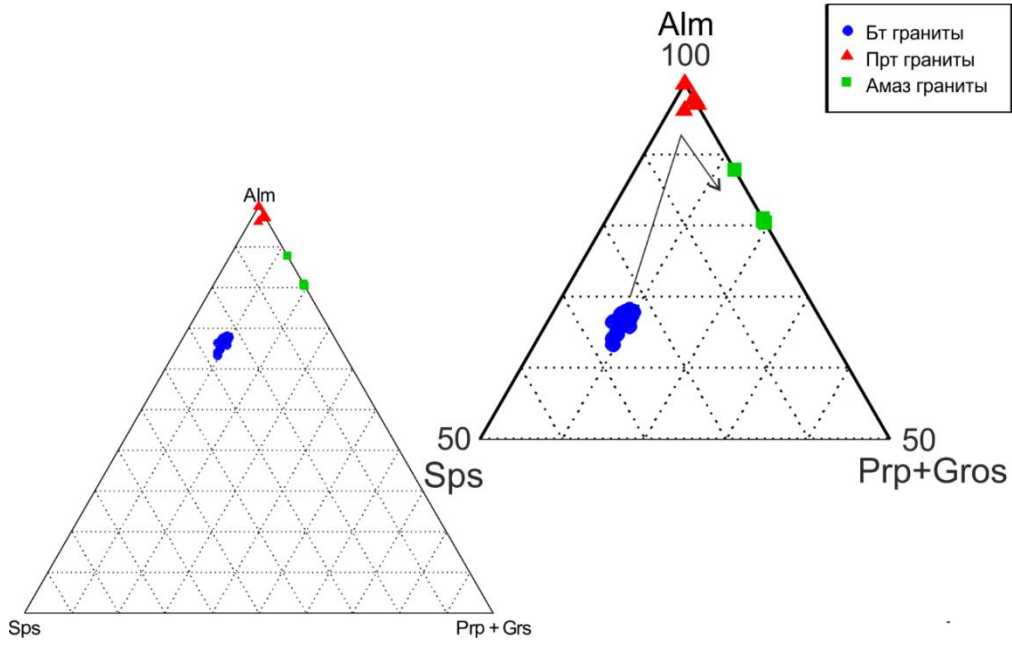
77 96%,

0 2%,

80-87%,

13-20%.

21).



21.
, Sps ó

, Prp+Grs ó

. Alm ó

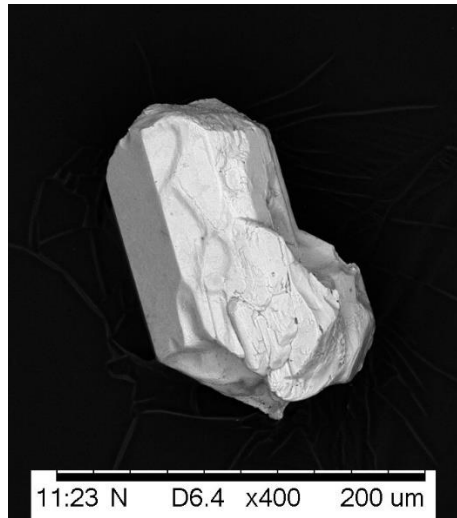
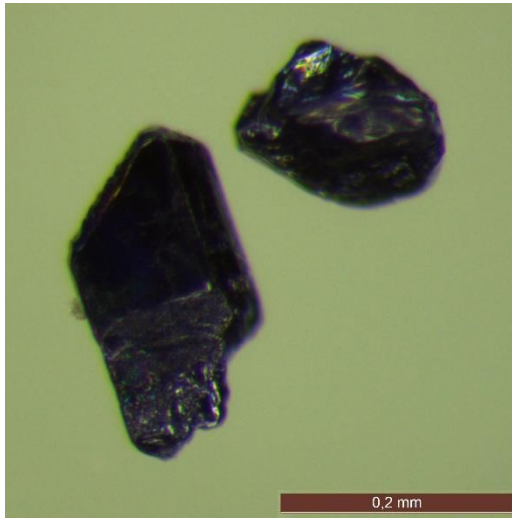
3.3.

Ta Nb Li-F
ó

()

(.22) $Fe^{2+}Nb_2O_6$

Mn Ta.



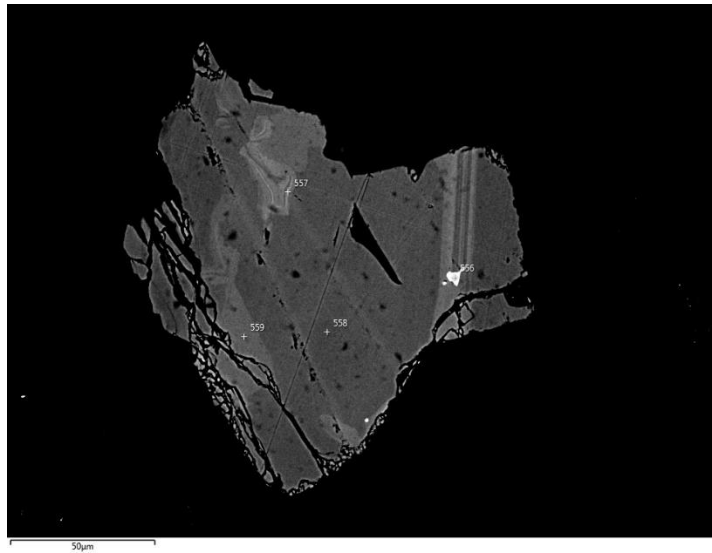
22.

()

(.23),

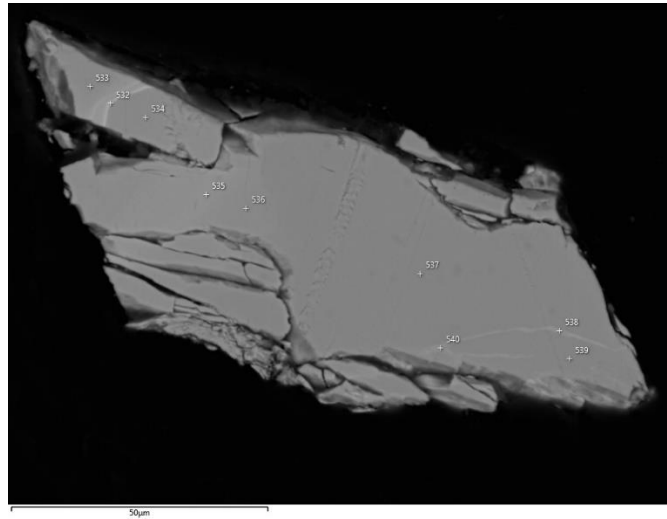
(.24).

Ta W,



23.

(556)



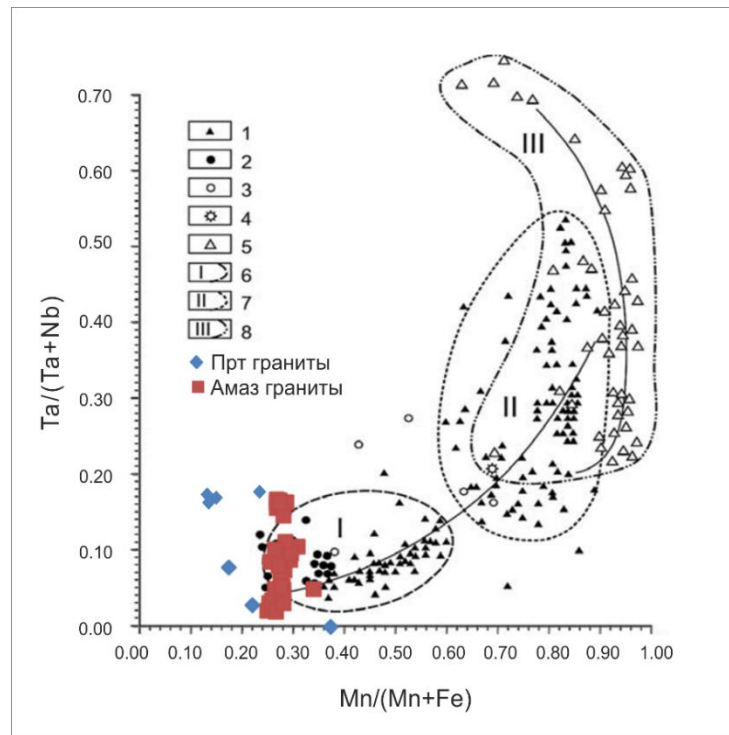
24.

(?)(Nb,W,Ta,Fe,Mn)2O4

(
 . %): Ta₂O₅ 0,65615,06; Nb₂O₅ 60,32-73.68; FeO 13.51617.55; MnO 3.7168.0; Ta/(Ta+Nb)=0.056
 0.17 (0.08), Mn/(Mn+Fe)=0.1760.37 (0.28). 2.86
 TiO₂ (1.2) 5.41 WO₃ (2.7).
 (. 1),
 0.26 0.28 0.04 0.09.
 , 1.6 1.1 .% TiO₂.
 Ta/(Ta+Nb)=0.046
 0.53 (0.2), Mn/(Mn+Fe)=0.2960.9 (0.66).
 Ta/(Ta+Nb)=0.11, Mn/(Mn+Fe)=0.44
 (. %) (0.03 SnO₂), (0.42 Sc₂O₃),

(0.48 WO₃) (0.48 TiO₂). (Ta/(Ta+Nb)=0.3) (Mn/(Mn+Fe) = 0.78), (. %) (0.2 SnO₂), (0.75 Sc₂O₃), (1.52 WO₃) (2.11 TiO₂) (, 2008).

(, 2008). (, 2008). (, 2008).



25.

$Ta/(Ta+Nb)$ ó $Mn/(Mn+Fe)$. : 1 ó , 2 ó ; 3 ó ; : 4 ó , 5 ó ; : 6 ó , 7 ó .

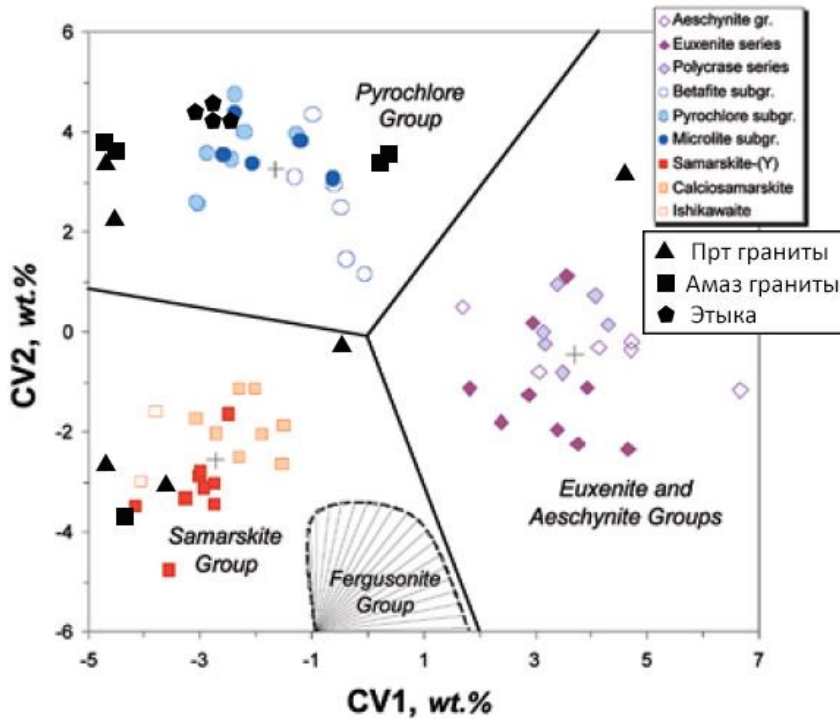
U, Nb-

(Y,REE,U,Th)-(Nb,Ta,Ti)

, A- I- (Ercit 2006).

(Ercit, 2006) (. 26).

ó
 CV1 = 0.245 Na + 0.106 Ca ó 0.077 (Fe+Mn) +
 0.425 Pb + 0.220 Y + 0.280 LREE+ 0.137 HREE + 0.100 (U+Th) + 0.304 Ti + 0.097 Nb+ 0.109 (Ta+W) ó
 12.81 (.%), CV2 = 0.102 Na ó 0.113 Ca ó 0.371 (Fe+Mn) ó 0.167 Pb ó 0.395 Y ó 0.280
 LREE ó 0.265 HREE ó 0.182 (U+Th) ó 0.085 Ti ó 0.166 Nb ó 0.146 (Ta+W) + 17.29 (.%).



26.

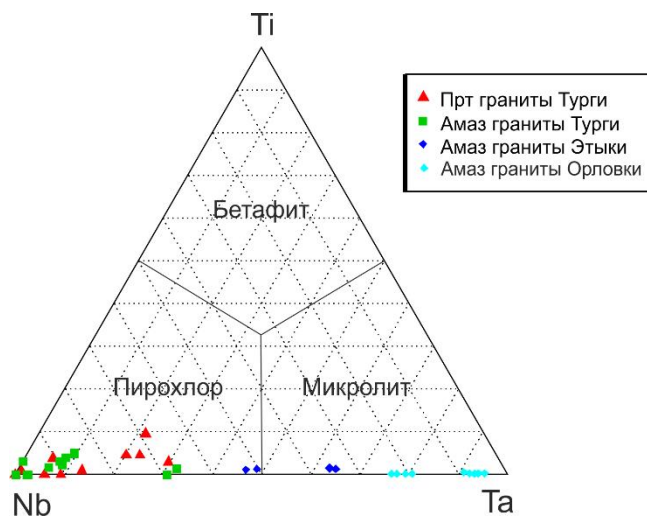
(Y, REE, U, Th)-(Nb, Ta, Ti)

CV1, CV2

1 2

ó

(. 27).



27.

(Nb, Ta, Ti) . . . (Hogarth, 1961).

Na Si ó
Ta (, 1970).
Nb,

Na

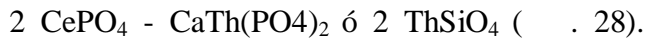
3.4.

LREE
LREE
Th (22,82 .%).
LREE, Y.
(Förster, 1998).

ABO_4 , A = REE, Y, Th, U, Ca, Pb B = P, Si. 3 : -Ce
($CePO_4$), ($CaTh(PO_4)_2$), ($ThSiO_4$), ó ,

1. $[Th^{4+}, U^{4+}, Ca^{2+}] 2 REE^{3+}$
2. $[Th^{4+}, U^{4+}, (SiO_4)^{4-}] [REE^{3+}, (PO_4)^{3-}]$.

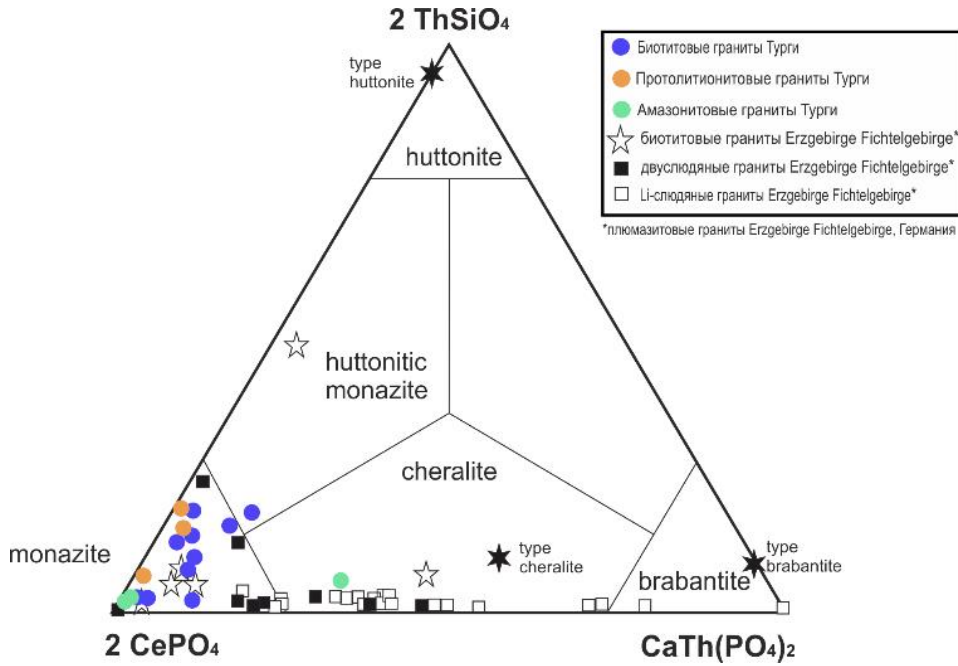
(%)



Erzgebirge Fichtelgebirge

Förster, 1998.

-Ce



28.

Erzgebirge Fichtelgebirge ().

LREE (light rare earth elements)

(Eu)

HREE (heavy rare earth elements).

$\text{SiO}_2, \text{CaO} \text{ P}_2\text{O}_5,$

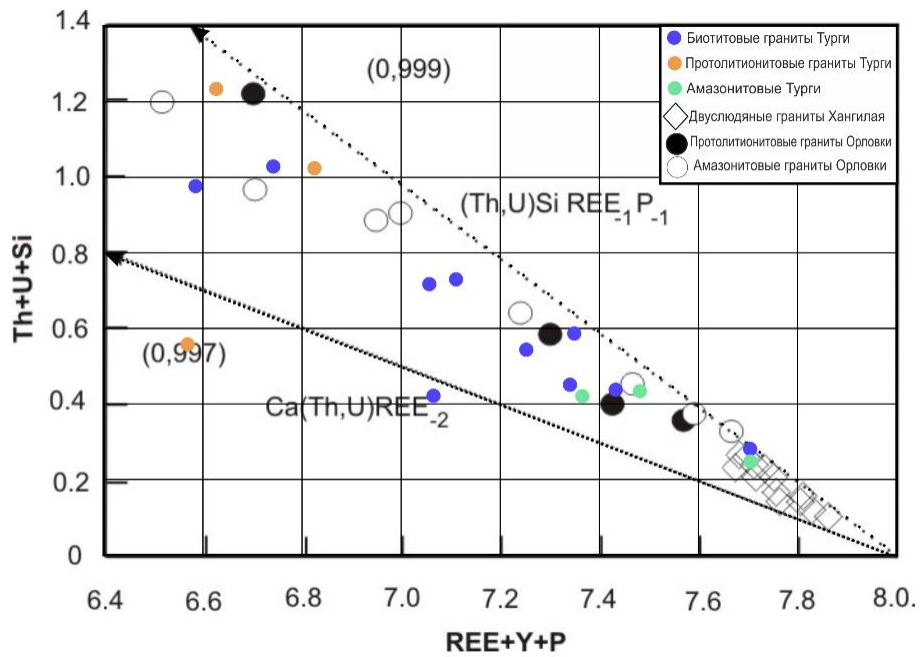
LREE Th,

(Förster,1998).

Li-F

REE

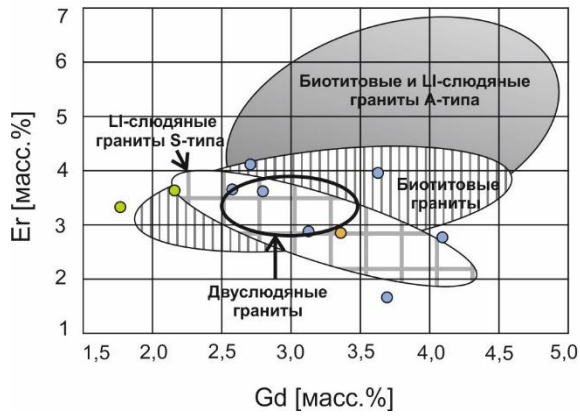
U Th (. 29).



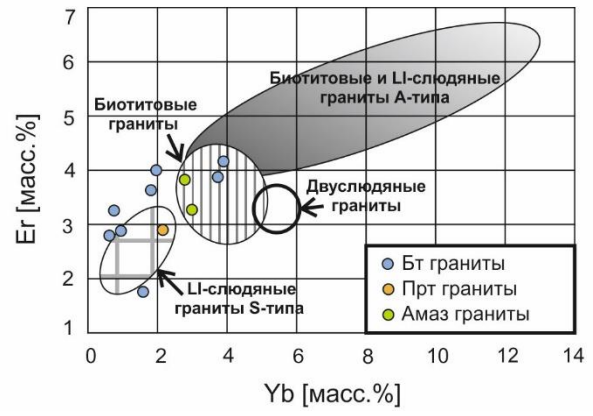
29. $(Th, U) Si REE_{-1} P_{-1}$ $(REE+Y+P)$ $(Th+U+Si)$ $(Th, U) Si REE_{-1} P_{-1}$ $Ca(Th, U) REE_{-2}$ (Förster, 1998).

HREE-PO₄, YPO₄ > 90 .%.
70-80 .% YPO₄ 16-25 .% HREE-PO₄.

HREE Li-
A- (Förster, 1998)
HREE Er,
Gd, Dy Er Gd
Er Yb
Li- S- ..
Li- S- ,
Li-



30.



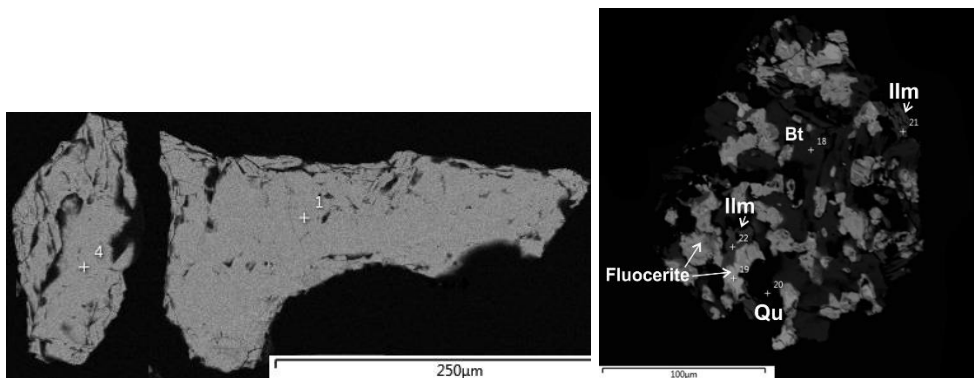
Er/Gd Er/Dy

3.5.

. % Y_2O_3).

ó (La,Ce)F₃, LREE ó (Ca, Ce, La)₂(Al, Fe)₃(SiO₄)₃(OH),
 ó (Ce,La,Y)CO₃F -(Ce) Ca(Ce, La)₂(CO₃)₃F₂.

(. 31).



31.

(31.22-45.63 . % Ce_2O_3 , 9.06-27.44 . %
 La_2O_3 , 8.16-18.58 . % Nd_2O_3 , 2.57-4.79 . % Pr_2O_3).

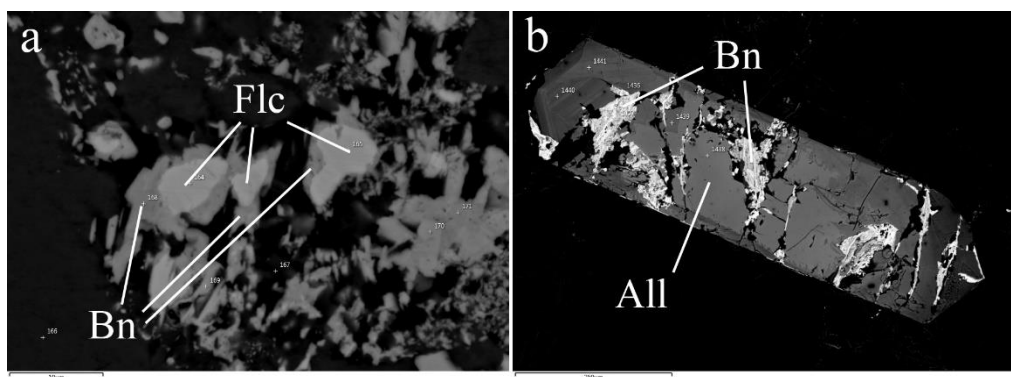
Th 8.23 .%, Ca 2.1 .%, Si 4.26 .%
 8 .%.
 - (, 1973),

«

».

(, 1973),

(. 32).



32. a ó

; b ó

; Flc ó fluocerite, Bn ó bastnaesite, All ó allanite

: + + ,
 , ,
 (, 1973).

(La,Ce)(CO₃)F

(, REE-)

REE (, 1973).

Ca

3.6. REE-Y-Th-U-Zr-

REE-Y-Th-U-Zr-

U(SiO₄)_{1-x}(OH)_{4x}, ThSiO₄, ThSiO₄, ZrSiO₄, XePO₄,
 () (Erzgebirge)

P, I- A- (Förster, 2006).

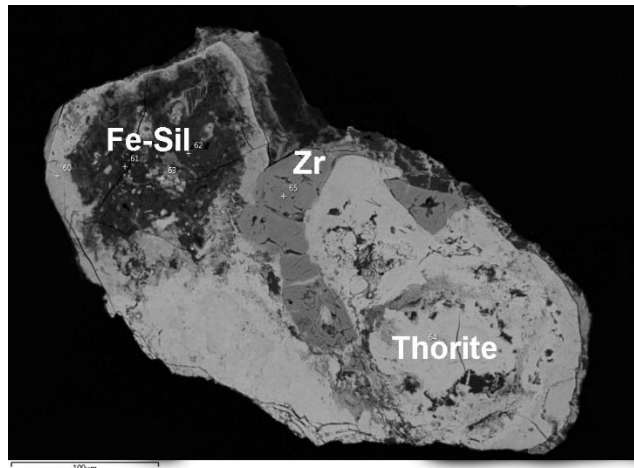
40

(Förster, 2006).

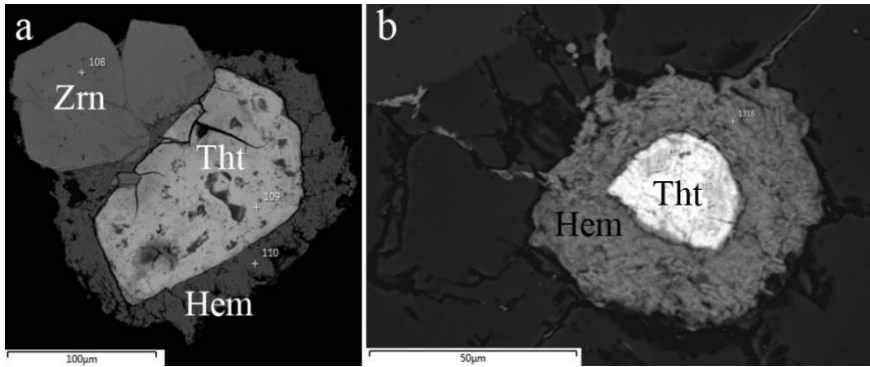
33),

(30),

(.34)



33.



34. ; Tht ó , Zrn ó , Hem ó ; a ó ; b ó

(60-90%) , (Förster, 2006), Th LREE

Zr, Th, U, , Y

REE-Y-Th-U-Zr-

()

(Förster, 2006).

Th ó Y ó Zr ó U,

F,

Th, Y (HREE), Zr / U,

(), - ,

(Förster, 2006).

Бт граниты (829)

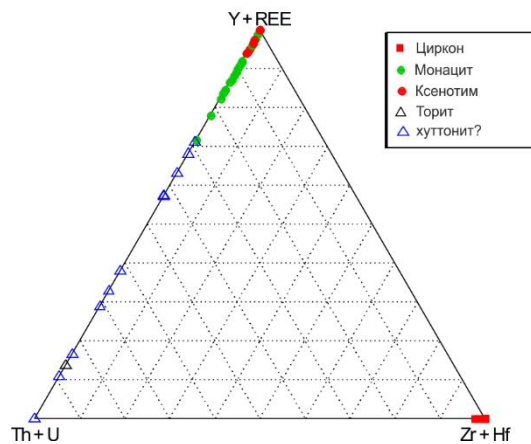


Рисунок 35.

Th+U ó Y+REE ó Zr+Hf (Förster, 2006).

ö (Ce, LREE)Th[PO₄]SiO₄.
(. 35)

Th+U ó

Y+REE,

Прт граниты (842)

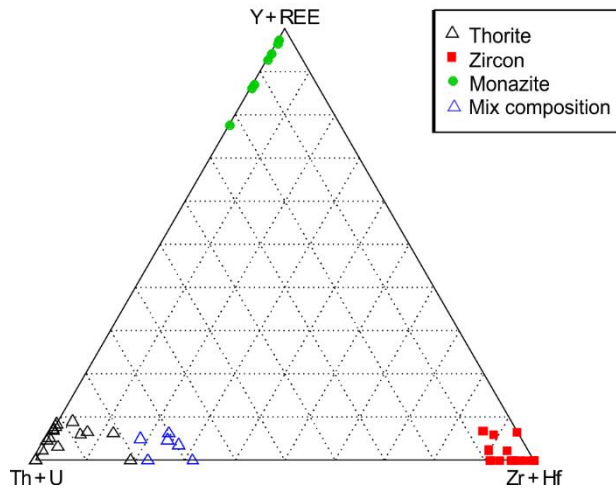


Рисунок 36.

Th+U ó Y+REE ó Zr+Hf (Förster, 2006).

U, Y W.

« » (~30),

Fe .

18 .% ThO₂,
(Y, REE, Th, U),

(. 36)

Амаз граниты (826-834)

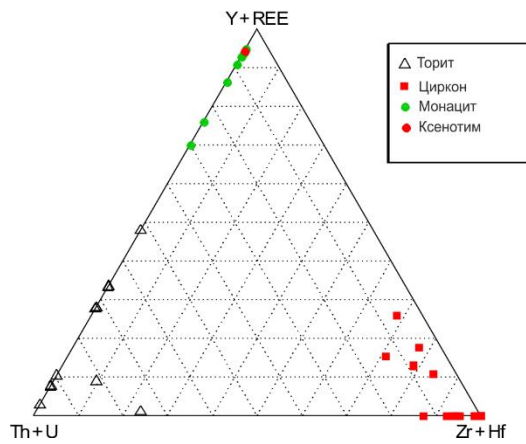


Рисунок 37.

Th+U ó Y+REE ó Zr+Hf (Förster, 2006).

HREE,

Y REE,

(. 37).

3.7.

Bt, Qu,

Fsp.

MnO 4-7 .%.

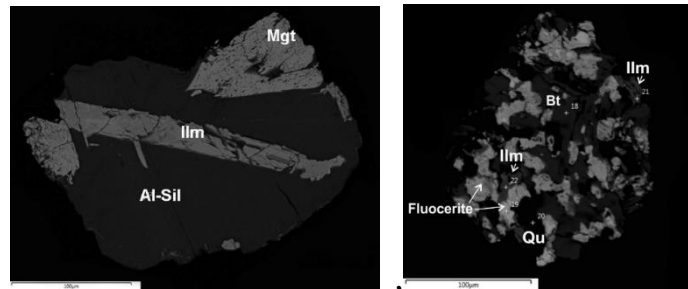
3 .% ZnO,

1-5% 15% MnO,

Nb₂O₅ 9 .%,

, Zn-

2016, Procházka 2010).



38.

...
 / , Li-F
 , ... F Li
 Zr, Nb, Ta ...

- (, ,). :
1. Ti ó «Ti-in-Zircon» (Ferry, 2006)
 2. Zr (Watson, Harrison, 1983)
 3. (, 1965);
 4. Gd (Gratz R.,
 Henrich W., 1998).

,
 , ,
 1.
 Li-F

750° 2
Ti
 «Ti » (Watson et al., 2006)
 (Ti),
 30 ppm Ti,
 Ti 30 ppm.

$$\log(Ti_{zrn}) = \frac{(6.01 \pm 0.03) - (5080 \pm 30)}{T(K)}$$

1.

«Ti».

	Тy-835	Э-522		
Ti, ppm	22,04	4,43	9,18	1,86
T, K	1088	947	1006	885
T, °C	815	675	730	610
		Средняя T°C 671±50		

ICP-MS ().

3, $Zr - (Na+K+2Ca)/(Al*Si)$

(.22).

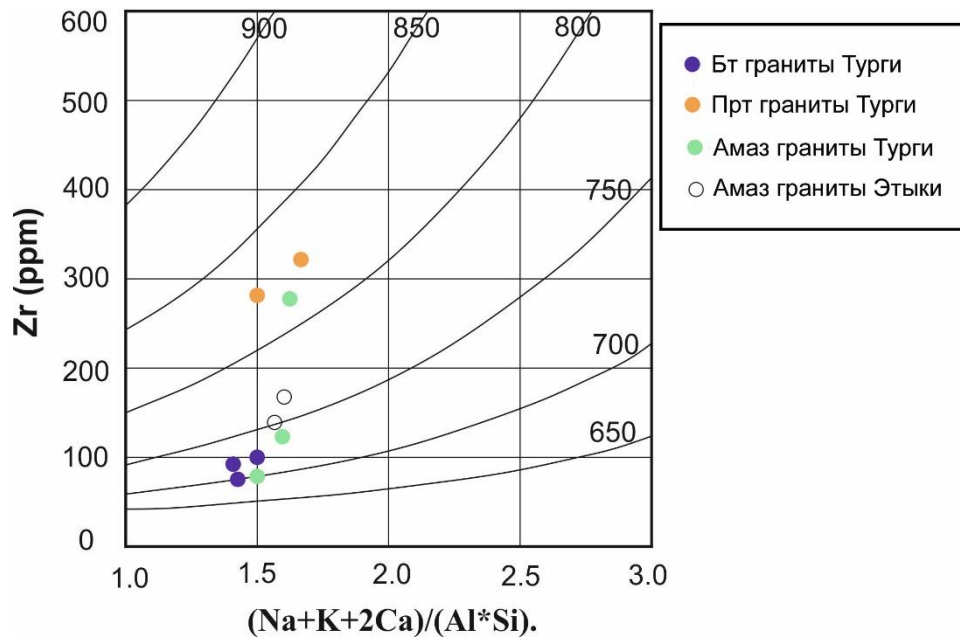
(é830 C),

(700-740 C),

(700-820 C , 750-870 C).

2. $(Na+K+2Ca)/(Al*Si)$

Компонент	Бт граниты			Прт граниты		Амаз граниты			Амаз граниты Этыки		
	Тy-829	Тy-483	Тy-470	Тy-466	Тy-474	Тy-494	Тy-543	Тy-437	Э-493	Э-1683	Э-1684
SiO ₂	75,3	75	75,3	76,1	75,2	75,9	77,6	71	71,3	76	65,3
Al ₂ O ₃	13,4	13,9	13,6	12,8	12,6	12,8	12,7	16,1	16,6	13,3	15,4
CaO	1,05	0,98	1,01	0,93	1,09	0,92	0,9	0,91	0,94	0,94	1,63
Na ₂ O	3,97	3,71	3,85	3,46	3,99	4,56	5,99	5,85	6,18	3,48	4,17
K ₂ O	4,65	4,99	4,83	5,24	4,91	4,22	1,29	4,57	4,1	4,79	4,69
Na ₂ O+K ₂ O	8,62	8,7	8,68	8,7	8,9	8,78	7,28	10,42	10,28	8,27	8,86
K/Na	0,77	0,89	0,83	1,00	0,81	0,61	0,14	0,51	0,44	0,91	0,74
A/CNK	0,99	1,05	1,02	0,98	0,91	0,93	0,99	0,99	1,02	1,05	1,03
K/(K+Na)	0,44	0,47	0,45	0,50	0,45	0,38	0,12	0,34	0,30	0,48	0,43
(Na+K)/Al	0,86	0,83	0,85	0,89	0,94	0,94	0,89	0,90	0,88	0,82	0,77
(Na+K+2Ca)/(Al*Si)	1,49	1,43	1,46	1,51	1,63	1,60	1,47	1,62	1,57	1,40	1,60
Zr, ppm	100	71,9	92,9	279	332	129	74,3	278	143	424	167



39.

$Zr-(Na+K+2Ca)/(Al*Si)$ (Watson, Harrison, 1983).

N1 N2,

Na

()

Hitachi S-

3400N

« »

ó Na

400° ,

Gd,

(Gratz R., Henrich W., 1998):

$$D_{Gd}(T) = -0,5886 + 1,591 * 10^{-3} * T (^{\circ}C),$$

$$D_{Gd} = \frac{X_{Gd}^{monazite}}{X_{Gd}^{xenotime}},$$

$$T (^{\circ}C) = \frac{D_{Gd} + 0,5886}{1,59 * 10^{-8}}$$

	Бт граниты Турги						Прт граниты
D_{Gd}	1,1383	0,7101	0,5399	0,4816	0,5312	0,7313	1,8632
T °C	1085	815	710	675	700	830	1540

T

800±140.

3.

С°.

«Ti» (Ferry, 2006)			810	670±50
Zr (Watson, Harrison, 1983)	720±20	820±20	750±50	
- (Gratz, Heinrich, 1998)	800±140	1540 (?)		
()	400-450	400-410	400-430	400-410

(, 1979; , 2002)

Li-F

600-650° . ,

17 , LREE, U, F- (, ,
-(Ce), -(Ce),), Li-F .
, .
ó , , , ,
, .
, LREE, U,
Th F. ,
(). U,
Nb, Fe, Y, ó , .
, « »
« »
. -
, ,
Mn Ta. ,
Li-F (, 1998).
, (800-1500 C) , (720-800 C)
(750-815 C),
(?) .
, Li-F
, .
. . , .
. .
, «
» « »

1.
- .//
 , 2013, CXLII, 3, . 1-27.
2. //
 : , 1972, 272 .
3. . . . -
.// . 2009, 17, 1, . 28-50.
4. . .
() //
 , . CXLVII, 6, . 1-21.
5. . .
.// 3PMO. 2004, 6, . 1-7.
6.
 . 1:1000000 ().
 - -49 ó - // .:
 , 2012, . 3-4;
7. . . -
 - // . ., 2008. . 43.
. 37-44.
8. . . .
 . ., 1965, . 49- 60.
9. . .
.// .: - .- . - , 2002. 357 .
10.
.// : , 1983, 182 .
11.
-
.// , 1973. . 22, . 143-157.
12. . . . ZnTiO3 ,
.// XXXIII
 , 2016. . 153-155.

13. Ercit T.S. Identification and alteration trends of granitic-pegmatite-hosted (Y, REE, U, Th) ó (Nb, Ta, Ti) oxide minerals: a statistical approach. // *The Canadian Mineralogist*. 2005, Vol. 43, p. 1291 ó 1303.
14. Ferry, J.M. New thermodynamic analysis and calibration of the Ti-in-zircon and Zr-in- rutile thermometers / J.M. Ferry, E.B. Watson // *Geological Society of America Abstracts with Programs*. ó 2006. ó V. 38. ó 6. ó P. 243.
15. Foerster H.-J. The chemical composition of REE-Y-Th-U rich accessory minerals from peraluminous granites of the Erzgebirge-Fichtelgebirge region, Germany. Part I: The monazite (Ce) ó barbantite solid solution series. // *American Mineralogist*, 1998: Vol. 83. p. 259-272.
16. Foerster H.-J. The chemical composition of REE-Y-Th-U rich accessory minerals from peraluminous granites of the Erzgebirge-Fichtelgebirge region, Germany. Part II: The xenotime. // *American Mineralogist*. 1998, Vol. 83, p. 1302-1315.
17. Förster H.-J. Composition and origin of intermediate solid solutions in the system thorite-xenotime-zircon-coffinite // *Lithos*, 2006, Vol. 88, p. 35655.
18. Gratz R., Henrich W. Monazite-xenotime thermometry. Experimental calibration of the partitioning of gadolinium between monazite and xenotime. // *Mineral*. 1998, Vol. 10, p. 579-588.
19. Pelleter E., Cheillets A., Gasquet D. Hydrothermal zircons: A tool for ion microprobe U-Pb dating of gold mineralization (Tamlalt-Menhouhou gold deposit ó Morocco). // *Chem. Geol.* 2007. Vol. 245, p. 135-161.
20. Procházka, V., Uher, P., & Mat jka, D. Zn-rich ilmenite and pseudorutile: subsolidus products in peraluminous granites of the Melechov Massif, Moldanubian Batholith, Czech Republic. // *Neues Jahrbuch Für Mineralogie - Abhandlungen*, 2010, 187(3), p. 2496263.
21. Watson E.B. Harrison T.M. Zircon saturation revisited: temperature and composition effects in a variety of crystal magma types // *Earth Planet Sci. Lett.* 1983, Vol. 64, p. 295-304.
22. Watson E.B. Wark D.A., Thomas J.B. Crystallization thermometers for zircon and rutile. // *Contrib Mineral Petrol*, 2006, 151, p. 4136433.

1. . . - . . . : , 2011 . ()
2. . . (). - « », 2015, 149 .

1. M-50-IX // geokarta.ru
2. , M-50-IX (). :
 - . - , 2001, 159 . // geokniga.ru

:

1. «Ti ».
2. $(Na+K+2Ca)/(Al*Si)$.
3. C°.

1. Google Earth.
2. Google Earth.
3. (, , 1977).
4. 1: 200 000 (M-50-IX) « » ().
5. . . , 1983; . . , . . , 1988, 2009.
6. -829.
- 7.
8. -842. - .
- 9.
10. -494. - .
11. - - .
- 12.
13. ó ; ó
- 14.
15. BSE- .
16. BSE- .
17. Th+U, Hf, Y+REE (. , 2013).
18. SmN/Lan ó Ce/Ce*, (Pelleter et al.,2007). : -1 ó , -2 ó , -3 ó ; : -522, -2250 ó .
19. Fe-Mn .
20. ó , ó , ó (BSE-).
21. . Alm ó , Sps ó , Prp+Grs ó

22. ().
23. (556) .
24. $(?)\text{(Nb,W,Ta,Fe,Mn)}_2\text{O}_4$.
25. -
-
- Ta/(Ta+Nb) ó Mn/(Mn+Fe). : 1 ó
- , 2 ó ; 3 ó ;
- : 4 ó , 5 ó ;
- : 6 ó , 7 ó .
26. (Y, REE, U, Th)-(Nb, Ta, Ti) . CV1, CV2
1 2
27. .
- (Nb, Ta, Ti) . . (Hogarth,1961).
28. .
- Erzgebirge Fichtelgebirge ().
29. (REE+Y+P) (Th+U+Si)
(16). (Th, U)
Si REE₁P₁ Ca(Th, U)REE₂
(Förster,1998).
30. Er/Gd Er/Dy .
31. : , .
32. a ó ; b ó ; Flc ó
fluocerite, Bn ó bastnaesite, All ó allanite
33. ,
34. : a ó ; b ó ; Tht ó
, Zrn ó , Hem ó .
35. , , , ,
Th+U ó Y+REE ó Zr+Hf (Förster, 2006).
36. , , ,
Th+U ó Y+REE ó Zr+Hf (Förster, 2006).
37. , , ,
Th+U ó Y+REE ó Zr+Hf (Förster, 2006).
38. .

39.

$Zr-(Na+K+2Ca)/(Al*Si)$ (Watson, Harrison, 1983).

Ab ó

An ó

BSE ó

Bt -

CL ó

Pl ó

Qu ó

Zw -

ó

ó

ó

ó

-

ó

, REE ó

ó